
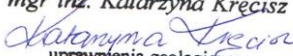


| Tabela nr 11.10 | | | | PARAMETRY GEOTECHNICZNE WARSTW PODŁOŻA WG SONADOWANIA CPTu | | | | | | | | | | | |
|--|----------|---------------|--------------|--|---------------------|--|-------|----------------------|-----------|-------|-------------------------------------|-------|-----------|--|-----------------------|
|  | | | | TEMAT: | | Budowa drogi ekspresowej S-6 na odcinku węzeł "Kielpino"/bez węzła/ - węzeł "Kołobrzeg Zachód"/z węzłem | | | | | | | | | |
| | | | | OBIEKT: | | WD58 | | | | | | | | | |
| | | | | GŁĘBOKOŚĆ WODY: | | nawiercone zwg: 11,30 m p.p.t., a ustabilizowane zwg: 5,40 m p.p.t. | | | | | | | | | |
| | | | | NR TESTU CPTU : | | CPTu7 | | | | | | | | | |
| Przelot warstwy | | Rodzaj gruntu | Domieszki | Opór stożka | Napężenie pionowe | Parametry stanu | | Parametry sondowania | | | Parametry wytrzymałości na ścinanie | | | Edometryczny moduł ściśl. pierwotnej M_0 | Warstwy geotechniczne |
| strop [m] | spąg [m] | | | | | I_D | I_L | q_n | β_q | N_m | ϕ' | C' | $S_u(Cu)$ | | |
| | | [-] | [-] | q_c [MPa] | σ_{vo} [KPa] | [-] | [-] | [MPa] | [-] | [-] | [°] | [kPa] | [kPa] | [MPa] | |
| 0,0 | 0,2 | Gb | - | 0,4 | 2 | - | - | - | - | - | - | - | - | - | - |
| 0,2 | 0,6 | Pπ | //Π,Ps | 1,8 | 7 | 0,15 | - | 1,79 | 0,00 | - | 28° 50' | - | - | 7,5 | IIIc |
| 0,6 | 1,6 | Gπ | - | 1,9 | 21 | - | 0,16 | 1,87 | -0,02 | 14,7 | 24° | 13 | 117 | 15,6 | C3 |
| 1,6 | 2,8 | Ps | //Pd,Π | 4,6 | 42 | 0,45 | - | 4,56 | 0,00 | - | 32° 20' | - | - | 20,7 | IIb3 |
| 2,8 | 3,6 | Gπ | //Ps+Ż | 2,2 | 61 | - | 0,12 | 2,14 | 0,00 | 16,2 | 24° 40' | 14 | 134 | 18,2 | C3 |
| 3,6 | 4,1 | Π | //Πh//Gπ | 0,4 | 74 | - | 0,79 | 0,33 | 0,03 | 2,6 | 12° 20' | 3 | 24 | 2,8 | C7 |
| 4,1 | 4,6 | Gπ | //Π+okr. sk. | 1,6 | 84 | - | 0,22 | 1,52 | 0,01 | 10,9 | 22° | 12 | 95 | 13,2 | C4 |
| 4,6 | 6,2 | Gp | - | 2,0 | 106 | - | 0,25 | 1,89 | 0,01 | 12,6 | 22° 50' | 13 | 126 | 16,5 | B4 |
| 6,2 | 6,5 | G | - | 6,1 | 126 | - | <0,00 | 5,96 | -0,01 | 34,6 | 29° 50' | 23 | 396 | 55,3 | B1 |
| 6,5 | 7,6 | Gp | +Ż//G | 19,5 | 141 | - | <0,00 | 19,34 | 0,00 | 73,6 | 35° 10' | 40 | 1237 | 160,7 | B1 |
| 7,6 | 9,1 | G | - | 11,0 | 169 | - | <0,00 | 10,82 | -0,01 | 48,9 | 32° 10' | 31 | 712 | 99,7 | B1 |
| 9,1 | 9,8 | Gp | +Ż//Pg | 22,1 | 192 | - | <0,00 | 21,90 | 0,00 | 69,3 | 34° 40' | 40 | 1386 | 182,2 | B1 |
| 9,8 | 10,6 | Gp | //G+Ż | 16,7 | 208 | - | <0,00 | 16,48 | 0,00 | 58,1 | 33° 30' | 36 | 1066 | 137,7 | B1 |
| 10,6 | 11,3 | Gp | //G,Pg+Ż | 23,1 | 224 | - | <0,00 | 22,87 | 0,00 | 66,1 | 34° 20' | 40 | 1441 | 190,5 | B1 |
| 11,3 | 11,7 | Pd | +Ż/Pg | 32,4 | 235 | 0,85 | - | 32,16 | 0,00 | - | 37° 40' | - | - | 174,6 | III |
| Z uwagi na osiągnięcie granicznej wytrzymałości na oporze stożka (q_c), badanie zakończono na głębokości 11,7 m p.p.t. | | | | | | | | | | | | | | | |

Opracował: mgr inż. Jolanta Górnik

Weryfikowała: mgr inż. Katarzyna Kręcis� upr. nr VII-1318

mgr inż. Katarzyna Kręcis�

 uprawnienia geologiczne
 Nr VII-1318